

ポリトープ表現を用いた磁気浮上装置のロバスト安定化

2010SE148 中澤奈美

指導教員：高見勲

1 はじめに

制御器の設計は制御対象を数式モデルで表すことから始まる．そのため，正しい数式モデルの導出がなければ正しい制御は望めない．本研究で用いる磁気浮上装置は電磁力定数が一定でない．この不確定なパラメータに対し，システム同定を行うことで厳密なモデルの導出を行う．さらに，変動パラメータである鋼球位置に対してはポリトープ表現を用いることでロバストな制御器を設計する．

2 制御対象とモデリング

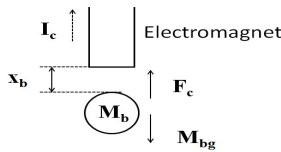


図 1 磁気浮上系の構成図

本研究の磁気浮上系は図 1 のような構成である．制御器からは電磁石に電流が入力され，その磁界による吸引力で鋼球位置を制御する．モデリングに用いる物理パラメータは，コイルの電流： I_c [A]，鋼球位置： x_b [m]，鋼球質量： M_b [kg]，重力加速度： g [m/s²]，電磁力： F_c [N]，電磁力定数： k [Nm²/A²] である．

2.1 電気機械システムのモデリング

図 1 において，鋼球にニュートンの第二法則を用いると，

$$M_b \frac{d^2}{dt^2} x_b = M_b g - F_c \quad (1)$$

である．今，電磁力 F_c は電流の二乗に比例し距離の逆二乗に比例することから $F_c = k I_c^2 / x_b^2$ で与えられるが $x_b = 0$ (電磁石と鋼球の距離が 0) となる時電磁力は，無限大になってしまうため，パラメータ d を導入し

$$F_c = k \frac{I_c^2}{(x_b + d)^2} \quad (2)$$

と置く．これを，式 (1) に代入し運動方程式

$$\frac{d^2}{dt^2} x_b = g - \frac{k I_c^2}{M_b (x_b + d)^2} \quad (3)$$

を得る．式 (3) を平衡点 (x_{b0}, I_{c0}) の周りで線形化を行う．ただし， x_{bl} [m] を鋼球位置の微小変位， I_{cl} [A] を電流の微小変化とする ($x_b = x_{b0} + x_{bl}$ ， $I_c = I_{c0} + I_{cl}$) ．ここで，状態変数を $x = [x_{bl} \ \dot{x}_{bl}]^T$ ， $u = I_{cl}$ とすると状態方程式は以下ようになる．

$$\begin{aligned} \dot{x} &= Ax + Bu = \begin{bmatrix} 0 & 1 \\ \frac{g}{x_{b0}+d} & 0 \end{bmatrix} x + \begin{bmatrix} 0 \\ \frac{-g}{(x_{b0}+d)\sqrt{\frac{M_b g}{k}}} \end{bmatrix} u \quad (4) \\ y &= Cx = [1 \ 0]x \quad (5) \end{aligned}$$

2.2 最小二乗法によるシステム同定

式 (2) の k と d の同定を行う．平衡点 (x_{b0}, I_{c0}) で式 (1) の左辺の加速度は 0 となり，次式が成立する．

$$M_b g = k \frac{I_{c0}^2}{(x_{b0} + d)^2} \quad (6)$$

ここで，左辺 $M_b g$ [N] は一定値である．実験で用いる鋼球の質量は 45g と 68g であり，それぞれ 0.441[N]，0.667[N] となる．各平衡点での鋼球位置 x_{b0} と実験で得られた電流 I_{c0} の実測値を基に， k と d の同定を行う．鋼球位置 x_j [mm] と，操作入力の実測値の平均 I_j [A] を表 1 に示す．

表 1 実験データ

j	1	2	3	4	5	6	7
x_j	4.000	5.000	6.000	7.000	8.000	9.000	10.000
45g I_j	1.036	1.084	1.174	1.320	1.361	1.478	1.562
68g I_j	0.973	1.027	1.130	1.185	1.245	1.309	1.367

近似の誤差の二乗和

$$\rho(k, d) = \sum_{j=1}^7 \left[M_b g - \frac{k I_j^2}{(x_j + d)^2} \right]^2 \quad (7)$$

が最小となる k と d を導出する．ニュートン法で d を求めると，鋼球質量が 45g の時 $d = 7.2756$ [mm]， $k = 5.4194$ [Nm²/A²] であり，同様に 68g の時 $d = 10.5569$ [mm]， $k = 14.8475 \times 10^{-5}$ [Nm²/A²] となる．この値から， F_c の計算値

$$y_j = \frac{k I_j^2}{(x_j + d)^2} \quad (8)$$

と真値 $M_b g$ との誤差の絶対値 e_j [%] を求める．

$$e_j = \left\| \frac{M_b g - y_j}{M_b g} \right\| \times 100 \text{ [%]} \quad (9)$$

その結果を図 2 に示す．両鋼球質量とも真値との誤差は，5%以内であるため，適切な解としてこの k と d の値を用いたモデルを使用する．

3 制御系設計

3.1 ポリトープ表現

鋼球位置 x_{b0} を変化させても安定した浮上を実現させるため，ポリトープ表現を用い，鋼球位置に関してロバスト安定性を保証する．

$$\alpha = \frac{1}{(x_{b0} + d)} \quad (10)$$

と置き， x_{b0} [m] の変動範囲を，

$$x_{b0} \in [x_{b0-min}, x_{b0-max}] = [4.0 \times 10^{-3}, 10.0 \times 10^{-3}]$$

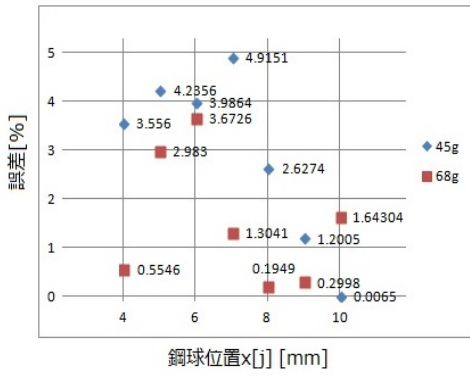


図 2 真値と計算値の誤差

と定めると, α の変動範囲は以下のように表される.

$$\alpha \in [\alpha_{min} \alpha_{max}] = \left[\frac{1}{x_{b0.min} + d} \frac{1}{x_{b0.max} + d} \right] \quad (11)$$

これより, 式 (4) において, α を含んだ行列 A と B を以下のように表すことができる.

$$A_{min} = \begin{bmatrix} 0 & 1 \\ -\alpha_{min} & 0 \end{bmatrix}, A_{max} = \begin{bmatrix} 0 & 1 \\ -\alpha_{max} & 0 \end{bmatrix}$$

$$B_{min} = \begin{bmatrix} 0 \\ \frac{-g}{\sqrt{\frac{gM_b}{k}}} \alpha_{min} \end{bmatrix}, B_{max} = \begin{bmatrix} 0 \\ \frac{-g}{\sqrt{\frac{gM_b}{k}}} \alpha_{max} \end{bmatrix} \quad (12)$$

A_{min} と B_{min} , A_{max} と B_{max} の 2 端点において安定となる制御系を設計すれば, ロバスト安定性は保証される.

3.2 拡大系の導出

さらに, 出力 y を目標値 r に定常偏差なく追従させるために拡大系の導出を行う. 偏差の積分を w とし, 拡大系の状態変数を $x_e = [w \ x^T]^T$ とすると, 状態方程式の拡大系は次式となる.

$$\dot{x}_e = A_e x_e + B_e u + B_r$$

$$= \begin{bmatrix} 0 & -C \\ 0 & A \end{bmatrix} x_e + \begin{bmatrix} 0 \\ B \end{bmatrix} u + \begin{bmatrix} I \\ 0 \end{bmatrix} r \quad (13)$$

$$y = C_e x_e = [0 \ C] x_e \quad (14)$$

3.3 LMI の定式化

拡大偏差系を安定化させる状態フィードバックゲイン K を求めるため, 評価関数 J を最小化するような制御則 $u = K x_e$ を考える. ここで, 重み行列 $Q \in \mathbb{R}^{3 \times 3} \geq 0$ と $R \in \mathbb{R} > 0$ とする.

$$J = \int_0^{\infty} \{x_e^T Q x_e + u^T R u\} dt \quad (15)$$

式 (16) を満たす X, Y が存在するならば, 式 (14) のシステムは, $u = K x_e = Y X^{-1} x_e$ で安定化できる [1]. 式 (16) について式 (12) の端点行列について連立して解くことで状態フィードバックゲイン K を得る.

$$\begin{bmatrix} He[AX + BY] & X^T(Q^{\frac{1}{2}})^T & Y^T(R^{\frac{1}{2}})^T \\ Q^{\frac{1}{2}}X & -I & 0 \\ R^{\frac{1}{2}}Y & 0 & -I \end{bmatrix} < 0$$

$$\text{maximize : } \text{tr}(X), X > 0 \quad (16)$$

4 シミュレーションと実験

45g, 68g のそれぞれにおいてシミュレーションと実験を行う. はじめ, 7[mm] のところで平衡状態を保ち, その後それぞれ 9[mm], 5[mm] へ目標値を変えた時のシミュレーションと実験結果を図 3, 4 に示す. 実験結果がシミュレーションとほぼ一致していること, ロバスト性が保証されたことが確認できる.

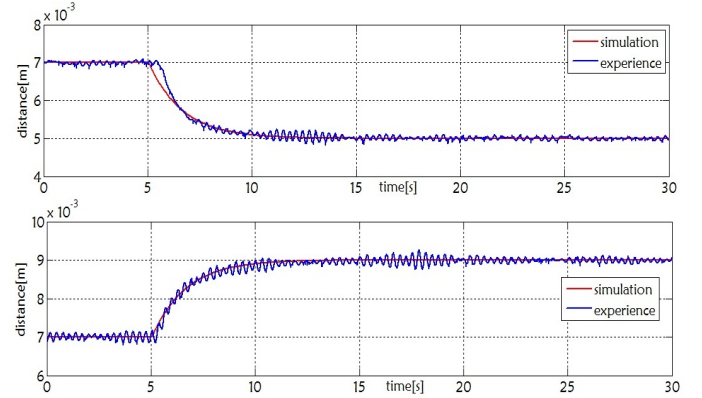


図 3 鋼球質量 45g のシミュレーションと実験結果

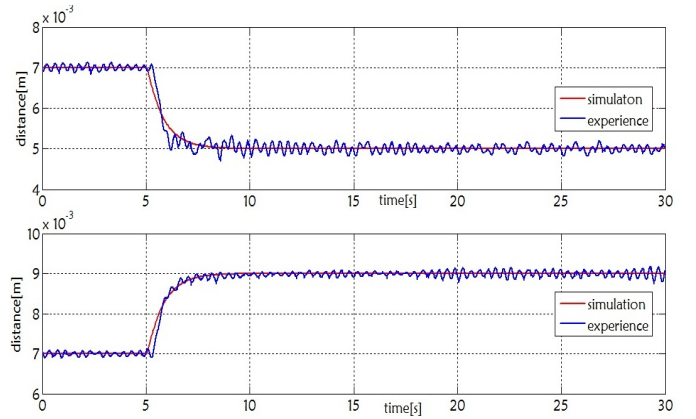


図 4 鋼球質量 68g のシミュレーションと実験結果

5 おわりに

本研究で得られた成果を以下に示す.

- 電磁力定数 k と定数 d の同定によるモデルの導出
- ポリトープ表現を用いた制御器の設計
- 鋼球位置のロバスト安定性の実験による検証

参考文献

- [1] Tomoya Kanada, Yusuke Watanabe and Gan Chen, Robust H2 Control for Two-wheeled inverted Pendu-lum Using LEGO Mindstoms, 2011 Australian Control Conference, 2011